

10°Cのときの寸法を示し、 $E=210\text{ GPa}$ 、線膨張係数  $\alpha=1.12\times 10^{-5}/^{\circ}\text{C}$  とする。

3. 図2のように、一様分布荷重  $w$  を受けても、長柱の安定度（危険荷重）には無関係なことを、両端回転支持の場合について証明せよ。

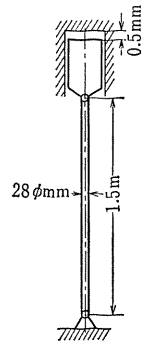


図 1

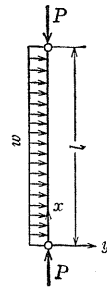


図 2

## 10. 円筒と回転円板

### 10.1 薄肉円筒

円筒のうち、外径と内径の比が、大きいもの（肉厚の厚いもの）を厚肉円筒、1に近いもの（肉厚の薄いもの）を薄肉円筒という。ここでは、薄肉円筒に内圧が作用する場合を取り扱う。

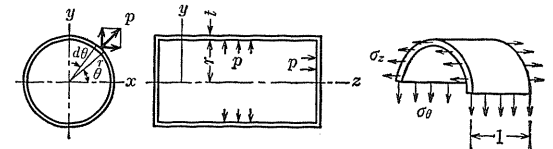


図 10.1 内圧を受ける薄肉円筒

図 10.1 に示すように、内圧を  $p$ 、内半径を  $r$ 、肉厚を

$t$  とし、円筒の長さは十分長いものとする。一般に、内圧を受ける円筒には、円周応力 (circumferential stress, hoop stress)  $\sigma_\theta$ 、軸応力 (axial stress)  $\sigma_z$ 、および半径応力 (radial stress)  $\sigma_r$  が作用する。このうち、半径応力  $\sigma_r$  は、内壁面で絶対値が  $p$ 、外壁面で 0 であるから、肉厚  $t$  が半径  $r$  に比較して小さいときには、 $\sigma_r$  は  $\sigma_\theta$  と  $\sigma_z$  に対して無視できる。また、両端から十分離れたところでは、 $\sigma_\theta, \sigma_z$  の厚さ方向の変化も無視できる\*。

図 10.1 に示すように、長さ 1 の輪を切り出し、さらにその半分を取り出して、それに働く力の釣合を考える。まず、 $y$  軸方向の釣合は、

$$2\sigma_\theta t = 2 \int_0^{\pi/2} pr \sin \theta d\theta = 2pr^{**}$$

$$\therefore \sigma_\theta = \frac{pr}{t} \quad (10.1)$$

つぎに、 $z$  軸方向の釣合は、

$$\pi r^2 p = 2\pi r t \sigma_z$$

$$\therefore \sigma_z = \frac{pr}{2t} \quad (10.2)$$

\* 両端近くでは、応力状態が複雑で、以下の式は適用できない。

\*\* 一様な強さの圧力の、ある方向への全圧力の大きさは、作用面の形状に関係なく、考える方向への投影面積と圧力の積に等しい。

$\sigma_\theta$  と  $\sigma_z$  は、ともに主応力で、式 (10.1), (10.2) より、

$$\sigma_\theta = 2\sigma_z \quad (10.3)$$

となる。すなわち、円周応力は軸応力の2倍となり、破壊が起こるときは、軸方向にき裂が生じる。

つぎに、円周ひずみ  $\varepsilon_\theta$  は、縦弾性係数を  $E$ 、ポアソン比を  $\nu$  とすると、式 (8.38) より、

$$\varepsilon_\theta = \frac{1}{E}(\sigma_\theta - \nu\sigma_z) = \frac{\sigma_\theta}{E}\left(1 - \frac{\nu}{2}\right) = \frac{pr}{Et}\left(1 - \frac{\nu}{2}\right) \quad (10.4)$$

内圧による半径の増加  $\Delta r$  は、

$$\varepsilon_\theta = \frac{2\pi(r + \Delta r) - 2\pi r}{2\pi r} = \frac{\Delta r}{r}$$

に式 (10.4) を用いて、

$$\Delta r = \frac{pr^2}{Et}\left(1 - \frac{\nu}{2}\right) \quad (10.5)$$

## 10.2 厚肉円筒

図 10.2 に示すように、内圧  $p_i$ 、外圧  $p_o$  を受ける内径  $r_i$ 、外径  $r_o$  の厚肉円筒を考える。厚肉円筒では、前節の薄肉円筒のように、半径応力  $\sigma_r$  を無視したり、円周応力  $\sigma_\theta$  が半径方向に一定である、と仮定できない。外径に比べて、円筒の長さが十分に長ければ、軸方向のひずみ  $\varepsilon_z$  はどの断面でも一様である、として取り扱うことができる。

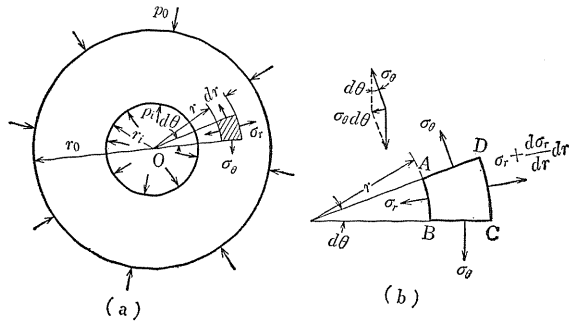


図 10.2 内、外圧を受ける厚肉円筒

図 10.2 に示すように、任意の断面上で、半径  $r$  と  $r + dr$  の同心円筒と中心角  $d\theta$  で、単位厚さの微小扇形の要素を切り出し、これの半径方向の力の平衡を

考える。荷重が軸対称であるから、同図 (b) の面 AD, BC には、せん断応力は発生せず、図のように垂直応力のみが作用する。面 AD, BC に作用する円周応力を  $\sigma_\theta$ 、面 AB に作用する半径応力を  $\sigma_r$  とすると、面 CD には

$$\sigma_r + \frac{d\sigma_r}{dr}dr$$

が作用する。また面 AD, BC に作用する  $\sigma_\theta$  の半径方向成分は、

$$\sigma_\theta d\theta$$

となるから、半径方向の釣合を考えると、

$$\sigma_r r d\theta + \sigma_\theta dr d\theta - \left(\sigma_r + \frac{d\sigma_r}{dr}dr\right)(r + dr)d\theta = 0$$

高次の微小項を省略すると、

$$r \frac{d\sigma_r}{dr} + \sigma_r - \sigma_\theta = 0 \quad (10.6)$$

この式には2個の未知数  $\sigma_r, \sigma_\theta$  を含むので、この式のみでは  $\sigma_r, \sigma_\theta$  を定めることはできない(不静定)。そこで、以下のように変形も同時に考えなければならない。まず、半径  $r$  における半径方向の変位を  $u$  とすれば、 $r + dr$  での同方向の変位は、 $u + (du/dr)dr$  となるので、半径  $r$  における半径方向のひずみ  $\varepsilon_r$  は、

$$\varepsilon_r = \frac{u + (du/dr)dr - u}{dr} = \frac{du}{dr} \quad (10.7)$$

また、半径方向の変位  $u$  によって、半径  $r$  の円は半径  $r + u$  の円になるので、円周ひずみ  $\varepsilon_\theta$  は、

$$\varepsilon_\theta = \frac{2\pi(r + u) - 2\pi r}{2\pi r} = \frac{u}{r} \quad (10.8)$$

応力とひずみの関係式(フックの法則) (8.36) の中の  $\sigma_x, \sigma_y, \varepsilon_x, \varepsilon_y$  を  $\sigma_r, \sigma_\theta, \varepsilon_r, \varepsilon_\theta$  として、式 (8.36) に式 (10.7), (10.8) を代入すると、

$$\sigma_r = \frac{E}{(1+\nu)(1-2\nu)} \left\{ (1-\nu) \frac{du}{dr} + \nu \frac{u}{r} + \nu \varepsilon_z \right\} \quad (10.9)$$

$$\sigma_\theta = \frac{E}{(1+\nu)(1-2\nu)} \left\{ (1-\nu) \frac{u}{r} + \nu \frac{du}{dr} + \nu \varepsilon_z \right\} \quad (10.10)$$

$$\sigma_z = \frac{E\nu}{(1+\nu)(1-2\nu)} \left\{ \frac{du}{dr} + \frac{u}{r} + \frac{1-\nu}{\nu} \varepsilon_z \right\} \quad (10.11)$$

式 (10.9), (10.10) を式 (10.6) に代入すると、

$$\frac{d^2u}{dr^2} + \frac{1}{r} \frac{du}{dr} - \frac{u}{r^2} = 0 \quad (10.12)$$

変形して,

$$\frac{d^2 u}{dr^2} + \frac{d}{dr} \left( \frac{u}{r} \right) = 0$$

積分して,

$$\frac{du}{dr} + \frac{u}{r} = C$$

変形すると

$$\frac{d(ru)}{dr} = Cr$$

さらに積分して,

$$ru = \frac{C}{2} r^2 + C'$$

ゆえに, 一般解は,

$$u = C_1 r + \frac{C_2}{r} \quad (10.13)$$

式 (10.13) を式 (10.9)~(10.11) に代入すると, 各応力成分は, 積分定数を含んだ形で, つぎのように得られる.

$$\sigma_r = \frac{E}{(1+\nu)(1-2\nu)} \left\{ C_1 - (1-2\nu) \frac{C_2}{r^2} + \nu \varepsilon_z \right\} \quad (10.14)$$

$$\sigma_\theta = \frac{E}{(1+\nu)(1-2\nu)} \left\{ C_1 + (1-2\nu) \frac{C_2}{r^2} + \nu \varepsilon_z \right\} \quad (10.15)$$

$$\sigma_z = \frac{E\nu}{(1+\nu)(1-2\nu)} \left\{ 2C_1 + \frac{1-\nu}{\nu} \varepsilon_z \right\} \quad (10.16)$$

定数  $C_1, C_2$  は, 円筒の内, 外面における境界条件から決める. 内, 外圧を受ける場合には, 内, 外面で, 半径応力  $\sigma_r$  がこれらの圧力に等しくならなければならない. すなわち,

$$r=r_i: \sigma_r = -p_i, \quad r=r_o: \sigma_r = -p_o^* \quad (10.17)$$

式 (10.14) を境界条件式 (10.17) に代入し,  $C_1, C_2$  について解くと,

$$\left. \begin{aligned} C_1 &= \frac{(1+\nu)(1-2\nu)}{E} \frac{r_i^2 p_i - r_o^2 p_o}{r_o^2 - r_i^2} - \nu \varepsilon_z \\ C_2 &= \frac{1+\nu}{E} \frac{r_i^2 r_o^2}{r_o^2 - r_i^2} (p_i - p_o) \end{aligned} \right\} \quad (10.18)$$

式 (10.18) の定数を式 (10.14)~(10.16) にもどせば,

\*  $\sigma_r$  が負になることに注意.

$$\sigma_r = \frac{1}{r_o^2 - r_i^2} \left\{ r_i^2 \left( 1 - \frac{r_o^2}{r^2} \right) p_i - r_o^2 \left( 1 - \frac{r_i^2}{r^2} \right) p_o \right\} \quad (10.19)$$

$$\sigma_\theta = \frac{1}{r_o^2 - r_i^2} \left\{ r_i^2 \left( 1 + \frac{r_o^2}{r^2} \right) p_i - r_o^2 \left( 1 + \frac{r_i^2}{r^2} \right) p_o \right\} \quad (10.20)$$

$$\sigma_z = 2\nu \frac{r_i^2 p_i - r_o^2 p_o}{r_o^2 - r_i^2} + E \varepsilon_z = \nu (\sigma_r + \sigma_\theta) + E \varepsilon_z \quad (10.21)$$

式 (10.21) で,  $\varepsilon_z$  を  $r$  に無関係に一定とすると,  $\sigma_z$  も一定となり,  $\sigma_z$  は断面上で一様に分布することになる.

変位  $u$  は, 式 (10.13) に式 (10.18) を代入して,

$$u = \frac{(1+\nu)(1-2\nu)}{E} \frac{r_i^2 p_i - r_o^2 p_o}{r_o^2 - r_i^2} r + \frac{1+\nu}{E} \frac{r_i^2 r_o^2 (p_i - p_o)}{(r_o^2 - r_i^2) r} - \nu \varepsilon_z r \quad (10.22)$$

式 (10.21), (10.22) には,  $z$  方向のひずみ  $\varepsilon_z$  が含まれているので, 円筒の両端末の拘束条件によって,  $\sigma_z$  と  $u$  は異なる.

まず, 両端が閉鎖されている場合 (図 10.3) は, 軸方向の力の釣合を考えると,

$$\pi(r_o^2 - r_i^2) \sigma_z - \pi(r_i^2 p_i - r_o^2 p_o) = 0$$

これより,

$$\sigma_z = \frac{r_i^2 p_i - r_o^2 p_o}{r_o^2 - r_i^2} \quad (10.23)$$

式 (10.21) に代入して,

$$\frac{r_i^2 p_i - r_o^2 p_o}{r_o^2 - r_i^2} = 2\nu \frac{r_i^2 p_i - r_o^2 p_o}{r_o^2 - r_i^2} + E \varepsilon_z$$

ゆえに,

$$\varepsilon_z = \frac{1-2\nu}{E} \frac{r_i^2 p_i - r_o^2 p_o}{r_o^2 - r_i^2} \quad (10.24)$$

変位  $u$  は, 式 (10.22) にこれを代入して,

$$u = \frac{1-2\nu}{E} \frac{r_i^2 p_i - r_o^2 p_o}{r_o^2 - r_i^2} r + \frac{1+\nu}{E} \frac{r_i^2 r_o^2 (p_i - p_o)}{(r_o^2 - r_i^2) r} \quad (10.25)$$

つぎに, 両端が開放されている場合には,

$$\sigma_z = 0 \quad (10.26)$$

式 (10.21) より,

$$\varepsilon_z = -\frac{2\nu}{E} \frac{r_i^2 p_i - r_o^2 p_o}{r_o^2 - r_i^2} \quad (10.27)$$

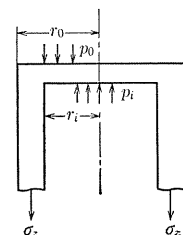


図 10.3

これを式 (10.22) に代入して,

$$u = \frac{1-\nu}{E} \frac{r_i^2 p_i - r_0^2 p_0}{r_0^2 - r_i^2} r + \frac{1+\nu}{E} \frac{r_i^2 r_0^2 (p_i - p_0)}{(r_0^2 - r_i^2) r} \quad (10.28)$$

### a) 内圧のみを受ける場合

式 (10.19), (10.20) で,  $p_0=0$  とおき,

$$\sigma_r = \frac{p_i r_i^2}{r_0^2 - r_i^2} \left( 1 - \frac{r_0^2}{r^2} \right) \quad (10.29)$$

$$\sigma_\theta = \frac{p_i r_i^2}{r_0^2 - r_i^2} \left( 1 + \frac{r_0^2}{r^2} \right) \quad (10.30)$$

最大せん断応力  $\tau_1$  は

$$\tau_1 = \frac{1}{2} (\sigma_\theta - \sigma_r) = \frac{r_i^2 r_0^2 p_i}{(r_0^2 - r_i^2) r^2} \quad (10.31)$$

各応力分布を図示すると, 図 10.4 のようになる. 各応力の絶対値は, いずれも内周で最大となり,

$$\sigma_r|_{r=r_i} = -p_i \quad (10.32)$$

$$\sigma_\theta|_{r=r_i} = \frac{r_i^2 + r_0^2}{r_0^2 - r_i^2} p_i \quad (10.33)$$

$$\tau_1|_{r=r_i} = \frac{r_0^2}{r_0^2 - r_i^2} p_i \quad (10.34)$$

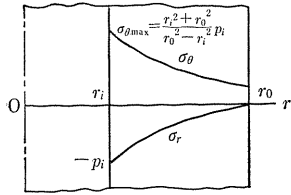


図 10.4 応力分布 (内圧)

これらのうち,  $\sigma_\theta|_{r=r_i}$  が最も大きく, これが材料の許容応力  $\sigma_{a1}$  をこえないように,  $r_i/r_0$  を決めなければならない. すなわち, 式 (10.33) より,

$$\sigma_\theta|_{r=r_i} = \frac{1 + (r_i/r_0)^2}{1 - (r_i/r_0)^2} p_i = \sigma_{a1}$$

これから,

$$\frac{r_0}{r_i} = \sqrt{\frac{\sigma_{a1} + p_i}{\sigma_{a1} - p_i}} \quad (10.35)$$

式 (10.35) で, 内圧  $p_i$  が材料の許容応力  $\sigma_{a1}$  になると,  $r_0/r_i = \infty$  となるので, いくら肉厚を大きくしても破損することになる. すなわち, いくら肉厚を大きくしても, 円筒の耐える内圧には限度があることがわかる.

半径方向変位  $u$  は, 両端の条件によって異なる. たとえば, 両端開放の場合は, 式 (10.28) から,

$$u|_{r=r_i} = \frac{1}{E} \left( \frac{r_0^2 + r_i^2}{r_0^2 - r_i^2} + \nu \right) r_i p_i \quad (10.36)$$

$$u|_{r=r_0} = \frac{2}{E} \frac{r_i^2 r_0}{r_0^2 - r_i^2} p_i \quad (10.37)^*$$

### b) 外圧のみを受ける場合

式 (10.19), (10.20) で,  $p_i=0$  とおき,

$$\sigma_r = -\frac{p_0 r_0^2}{r_0^2 - r_i^2} \left( 1 - \frac{r_i^2}{r^2} \right) \quad (10.38)$$

$$\sigma_\theta = -\frac{p_0 r_0^2}{r_0^2 - r_i^2} \left( 1 + \frac{r_i^2}{r^2} \right) \quad (10.39)$$

各応力分布を図 10.5 に示す. 各応力は, ともに圧縮で,  $\sigma_r$  は  $r=r_0$  で,  $\sigma_\theta$  は  $r=r_i$  で最大になる.

$$\sigma_r|_{r=r_0} = -p_0 \quad (10.40)$$

$$\sigma_\theta|_{r=r_i} = -\frac{2r_0^2}{r_0^2 - r_i^2} p_0 \quad (10.41)$$

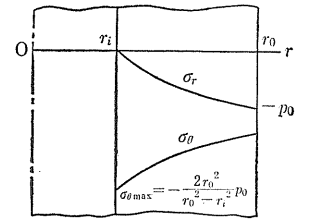


図 10.5 応力分布 (外圧)

これらのうち, 最大応力は,  $\sigma_\theta$  の内周における値であり, これが材料の許容応力  $\sigma_{a1}$  をこえないように,  $r_i/r_0$  を定める. 式 (10.41) より,

$$\frac{2r_0^2}{r_0^2 - r_i^2} p_0 = \sigma_{a1}$$

これから

$$\frac{r_0}{r_i} = \sqrt{\frac{\sigma_{a1}}{\sigma_{a1} - 2p_0}} \quad (10.42)$$

外圧  $p_0$  が  $\sigma_{a1}/2$  になると,  $r_0/r_i = \infty$  となり, 厚さをいくら増しても破損することになる.

半径方向変位  $u$  は, たとえば両端開放の場合, 式 (10.28) から

$$u|_{r=r_i} = -\frac{2}{E} \frac{r_i r_0^2}{r_0^2 - r_i^2} p_0 \quad (10.43)$$

$$u|_{r=r_0} = -\frac{1}{E} \left( \frac{r_0^2 + r_i^2}{r_0^2 - r_i^2} - \nu \right) r_0 p_0 \quad (10.44)$$

\*  $u|_{r=r_i} > u|_{r=r_0}$  で肉厚は薄くなる

## 10.3 組合せ円筒

外筒の内径よりも、内筒の外径をやや大きく加工しておき、外筒を加熱して膨

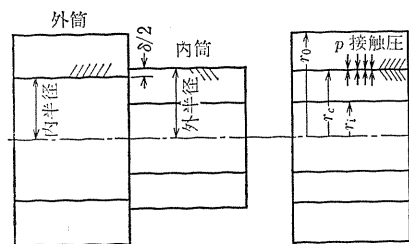


図 10.6 焼ばめ

張させて、内筒を挿入すると、常温にもどったときに、両円筒に接触圧が生じる (図 10.6). これを焼ばめ (shrink fit) という。また、焼ばめ前の内筒外径と外筒内径との差  $\delta$  を、焼ばめ代という。

いま、接触圧  $p$  と焼ばめ代  $\delta$  との関係を求めよう。この接触圧は、

内圧  $p$  によって生じる外筒の内径の増加と、外圧  $p$  による内筒の外径の減少との和が  $\delta$  に等しい、という条件から求められる\*。すなわち、式 (10.36) と式 (10.44) において、それぞれ、 $r_i \doteq r_o$ ,  $r_o \doteq r_c^{**}$  とおいて、

$$\frac{1}{E} \left( \frac{r_o^2 + r_c^2}{r_o^2 - r_c^2} + \nu \right) r_c p - \left[ -\frac{1}{E} \left( \frac{r_c^2 + r_i^2}{r_c^2 - r_i^2} - \nu \right) r_c p \right] = \frac{\delta}{2}$$

これから

$$\delta = \frac{4}{E} \frac{r_c^3 (r_o^2 - r_i^2)}{(r_c^2 - r_i^2)(r_o^2 - r_c^2)} p \quad (10.45)$$

なお、焼ばめ代  $\delta$  を得るために必要な内筒と外筒との間の温度差  $\Delta T$  は、 $\alpha$  を外筒材の線膨張係数として\*\*\*、

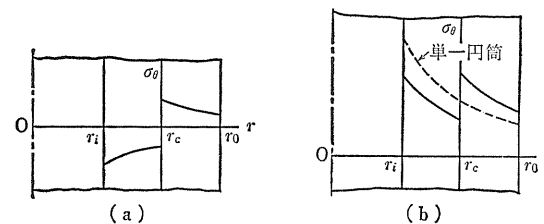
$$\Delta T = \frac{\delta}{2\alpha r_c} \quad (10.46)$$

焼ばめによってつくられた組合せ円筒は、内筒には外圧  $p$  が、外筒には内圧  $p$  が加わり、応力状態は図 10.7 (a) のようになる。これに内圧が作用すると、同図 (a) の応力分布に内圧による応力分布が重なって、同図 (b) のようになり、その最大応力は、内、外径が組合せ円筒のそれに等しい単一円筒の最大応力に比較して、かなり下がることになる。

\* 外筒の内周の変位と、内筒の外周の変位との差が  $\delta/2$  に等しい、と考えてもよい。

\*\* 厳密には、 $r_i \neq r_o$ ,  $r_o \neq r_c$  であるが、通常、 $\delta \ll r_c$  なので、変位を考える際、式 (10.36), (10.44) で、それぞれ  $r_i = r_o$ ,  $r_o = r_c$  としても差しつかえない。

\*\*\*  $u = \delta/2$ ,  $\epsilon_\theta = \alpha \Delta T = u/r_c \rightarrow \Delta T = u/\alpha r_c = \delta/2\alpha r_c$ .

図 10.7 焼ばめ円筒の応力分布 ( $\sigma_\theta$ )

## 10.4 回転円板

円板が、それに垂直な対称軸のまわりに回転すると、遠心力によって応力が発生する。この応力は、回転軸に関して対称に分布するから、10.2 節の方法で求められる。いま、円板は薄いので、回転軸 ( $z$  軸) 方向の応力成分を無視できる、と仮定すれば、円板は軸対称の平面応力問題として取り扱える。また、円板には遠心力のみが作用するので、応力は、円板の厚さ方向には変化しないものと仮定する。

円板は一定の角速度  $\omega$  で回転するものとする、図 10.8 の微小要素 ABCD に作用する遠心力は\*

$$\rho r d\theta dr \cdot r \omega^2$$

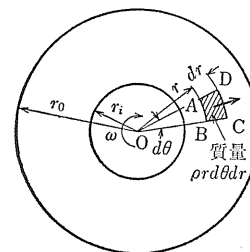


図 10.8 回転円板

となる。ここに、 $\rho$  は円板の材料の密度である。したがって、半径方向の力の平衡は、式 (10.6) を導き出したときと同様に、

$$\sigma_r r d\theta + \sigma_\theta dr d\theta - \left( \sigma_r + \frac{d\sigma_r}{dr} dr \right) (r + dr) d\theta - \rho r^2 \omega^2 d\theta dr = 0$$

高次の微小項を省略すると、

$$r \frac{d\sigma_r}{dr} + \sigma_r - \sigma_\theta + \rho \omega^2 r^2 = 0 \quad (10.47)$$

つぎに、この式を変位の式に書き換える。この場合は、平面応力であるから、式 (8.40) の  $x, y$  を  $r, \theta$  に変え、式 (10.7), (10.8) を用いると、 $\sigma_r, \sigma_\theta$  は

$$\sigma_r = \frac{E}{1-\nu^2} \left( \frac{du}{dr} + \nu \frac{u}{r} \right) \quad (10.48)$$

\* 遠心力  $m r \omega^2$  ( $m$ : 質量)。

$$\sigma_\theta = \frac{E}{1-\nu^2} \left( \frac{u}{r} + \nu \frac{du}{dr} \right) \quad (10.49)$$

これを式 (10.47) に代入すると,

$$\frac{d^2 u}{dr^2} + \frac{1}{r} \frac{du}{dr} - \frac{u}{r^2} + \frac{1-\nu^2}{E} \rho \omega^2 r = 0 \quad (10.50)$$

式 (10.50) は, 円筒の場合の式 (10.12) に, 遠心力の項が付加されただけであることがわかる。

式 (10.50) を変形して,

$$\frac{d}{dr} \left\{ \frac{1}{r} \frac{d}{dr} (ur) \right\} + \frac{1-\nu^2}{E} \rho \omega^2 r = 0$$

積分すると,

$$\frac{1}{r} \frac{d}{dr} (ur) + \frac{1-\nu^2}{E} \rho \omega^2 \frac{r^2}{2} = C$$

$r$  を乗じて, さらに積分すると,

$$ur + \frac{1-\nu^2}{E} \rho \omega^2 \frac{r^4}{8} = \frac{C}{2} r^2 + C_2$$

ゆえに, 変位  $u$  の一般解は,

$$u = C_1 r + \frac{C_2}{r} - \frac{1-\nu^2}{E} \rho \omega^2 \frac{r^3}{8} \quad (10.51)$$

式 (10.51) を式 (10.48), (10.49) に代入すると, 各応力成分は

$$\sigma_r = \frac{E}{1-\nu^2} \left\{ C_1(1+\nu) - C_2(1-\nu) \frac{1}{r^2} - \frac{1-\nu^2}{E} \rho \omega^2 \frac{3+\nu}{8} r^2 \right\} \quad (10.52)$$

$$\sigma_\theta = \frac{E}{1-\nu^2} \left\{ C_1(1+\nu) + C_2(1-\nu) \frac{1}{r^2} - \frac{1-\nu^2}{E} \rho \omega^2 \frac{1+3\nu}{8} r^2 \right\} \quad (10.53)$$

積分定数  $C_1, C_2$  は, 周辺条件から定められる。平面応力の場合,  $\varepsilon_z$  は式 (8.38) の第3式より

$$\varepsilon_z = -\frac{\nu}{E} (\sigma_x + \sigma_y) = -\frac{\nu}{E} (\sigma_r + \sigma_\theta) \quad (10.54)$$

となり, これに式 (10.52), (10.53) を代入すると,  $\varepsilon_z$  は  $r$  によって変化することがわかる。

#### a) 有効円板

中心に円孔を有する場合には, 円板の内・外周に外力が作用しないから, 境界条件は,

$$\sigma_r|_{r=r_0}=0, \quad \sigma_r|_{r=r_i}=0 \quad (10.55)$$

式 (10.52) を上式に代入して,  $C_1, C_2$  は,

$$\left. \begin{aligned} C_1 &= \frac{1-\nu^2}{E} \rho \omega^2 \frac{3+\nu}{8(1+\nu)} (r_i^2 + r_0^2) \\ C_2 &= \frac{1-\nu^2}{E} \rho \omega^2 \frac{3+\nu}{8(1-\nu)} r_i^2 r_0^2 \end{aligned} \right\} \quad (10.56)$$

変位および各応力の成分は, 式 (10.51), (10.52), (10.53) に式 (10.56) を代入して, それぞれ,

$$u = \frac{\rho \omega^2}{8E} r \left\{ (3+\nu)(1-\nu)(r_i^2 + r_0^2) - (1-\nu^2)r^2 + (3+\nu)(1+\nu) \frac{r_i^2 r_0^2}{r^2} \right\} \quad (10.57)$$

$$\sigma_r = \rho \omega^2 \frac{3+\nu}{8} r_0^2 \left\{ 1 + \left( \frac{r_i}{r_0} \right)^2 - \left( \frac{r}{r_0} \right)^2 - \left( \frac{r_i}{r} \right)^2 \right\} \quad (10.58)$$

$$\sigma_\theta = \rho \omega^2 \frac{3+\nu}{8} r_0^2 \left\{ 1 + \left( \frac{r_i}{r_0} \right)^2 - \frac{1+3\nu}{3+\nu} \left( \frac{r}{r_0} \right)^2 + \left( \frac{r_i}{r} \right)^2 \right\} \quad (10.59)$$

半径応力  $\sigma_r$  は,  $r=r_i, r=r_0$  で0となる。また, 最大になるのは,  $d\sigma_r/dr=0$  より,  $r=\sqrt{r_i r_0}$  の位置で, 最大値は,

$$(\sigma_r)_{\max} = \rho \omega^2 \frac{3+\nu}{8} r_0^2 \left( 1 - \frac{r_i}{r_0} \right)^2 \quad (10.60)$$

円周応力  $\sigma_\theta$  は, 内周において最大となる。その値は, 式 (10.59) から,

$$(\sigma_\theta)_{\max} = \sigma_\theta|_{r=r_i} = \rho \omega^2 \frac{3+\nu}{4} r_0^2 \left\{ 1 + \frac{1-\nu}{3+\nu} \left( \frac{r_i}{r_0} \right)^2 \right\} \quad (10.61)$$

となる。式 (10.60) と (10.61) から,  $(\sigma_\theta)_{\max}$  はつねに  $(\sigma_r)_{\max}$  より大きいことがわかる。

図 10.9 は, 式 (10.58), (10.59) を,  $r_i/r_0$  をパラメータとして, 図示したものである。ただし,  $\nu=0.3$  としている。円孔が小さくなれば,  $\sigma_\theta$  も  $\sigma_r$  も孔の近くで著しく変化する。孔径が0に近づくと,  $(\sigma_\theta)_{\max}$  は, 式 (10.61) より

$$(\sigma_\theta)_{\max} = \rho \omega^2 \frac{3+\nu}{4} r_0^2 \quad (10.62)$$

また,  $r_i$  が  $r_0$  に近づくと,

$$(\sigma_\theta)_{\max} = \rho \omega^2 r_0^2 \quad (10.63)$$

となる。両式から, 孔径を小さくしても,  $(\sigma_\theta)_{\max}$  は, 円輪 ( $r_i=r_0$ ) のときより約 20% しか低下しないことがわかる。

#### b) 中実円板

円孔のない中実円板の場合は, 境界条件の一つは, 円板の中心で変位が0であ

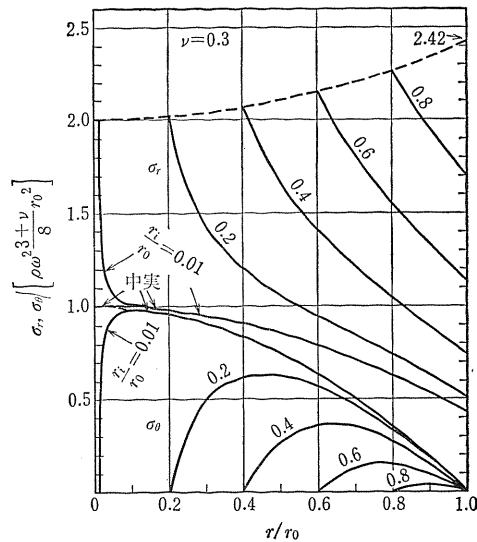


図 10.9 回転円板の半径方向の応力分布

ること、すなわち、

$$r=0 : u=0 \quad (10.64)$$

となる。したがって、一般解 (10.51) で、 $C_2=0$  とおかなければならない。残りの定数  $C_1$  は、前と同様に、円板の外周で  $\sigma_r=0$  となる条件から決められる。すなわち、式 (10.52) から、 $C_2=0$  とおいて、

$$C_1 = \frac{1-\nu^2}{E} \rho \omega^2 \frac{3+\nu}{8(1+\nu)} r_0^2 \quad (10.65)$$

変位および各応力成分は、式 (10.51)~(10.53) から、

$$u = \frac{\rho \omega^2}{8E} r \{ (3+\nu)(1-\nu)r_0^2 - (1-\nu^2)r^2 \} \quad (10.66)$$

$$\sigma_r = \rho \omega^2 \frac{3+\nu}{8} r_0^2 \left\{ 1 - \left( \frac{r}{r_0} \right)^2 \right\} \quad (10.67)$$

$$\sigma_\theta = \rho \omega^2 \frac{3+\nu}{8} r_0^2 \left\{ 1 - \frac{1+3\nu}{3+\nu} \left( \frac{r}{r_0} \right)^2 \right\} \quad (10.68)$$

式 (10.67), (10.68) は図 10.9 の破線のようになり、中心でその値は、

$$(\sigma_r)_{\max} = (\sigma_\theta)_{\max} = \rho \omega^2 \frac{3+\nu}{8} r_0^2 \quad (10.69)$$

となる。孔径が 0 に近づくとき、 $(\sigma_\theta)_{\max}$  は式 (10.62) で与えられ、これと式

(10.69) を比較すると、有孔円板の場合は、 $(\sigma_\theta)_{\max}$  が 2 倍になることがわかる。すなわち、微小な中心孔の縁における応力は、中実円板の中心における応力の 2 倍に等しくなることがわかる。

以上の回転円板の各式は、電動機回転子のような、比較的長い円筒に対しても、近似的に用いることができる。

大型回転子を鍛造でつくる場合、応力が最大になる中心部に、とかく材料欠陥を生じやすい。この材料の強さに対する不確実性を除くため、通常、回転子の軸にそって中心孔（検査孔）をあけている。この孔のために、最大応力は 2 倍になるが、それによって鍛造品内部の材料の健全性が調べられる。また、通常は、予備試験で、孔のまわりの応力が材料の降伏点をこえるような過大速度で、回転子を回転させる。そうすると、孔のまわりの部分には、永久ひずみが生じるので、回転子を停止した後も応力が残る。すなわち、降伏を起こした回転子の内部側は、降伏を起こしていない外側の部分によって圧縮され、逆に外側の部分は引張りを受ける。これは、ちょうど 10.3 節の組合せ円筒の場合と同様の応力状態 (図 10.7) になり、過大応力によって孔のまわりに生じる残留応力は、遠心力によって生じる応力と符号が逆になる。したがって、過大応力を与えることは、回転時の応力分布に強度上好都合な結果となる。

## 10 章の整理

### 1. 薄肉円筒（内圧）

$$\text{円周応力 } \sigma_\theta = pr/t \quad (10.1)$$

$$\text{軸応力 } \sigma_z = pr/2t \quad (10.2)$$

$$\text{円周ひずみ } \varepsilon_\theta = \frac{1}{E} (\sigma_\theta - \nu \sigma_z) = \frac{pr}{Et} \left( 1 - \frac{\nu}{2} \right) \quad (10.4)$$

$$\text{半径の増加 } \Delta r = r \varepsilon_\theta = \frac{pr^2}{Et} \left( 1 - \frac{\nu}{2} \right) \quad (10.5)$$

### 2. 厚肉円筒

$$\text{基礎式: } \frac{d^2 u}{dr^2} + \frac{1}{r} \frac{du}{dr} - \frac{u}{r^2} = 0 \quad (10.12)$$

$$\text{一般解: } u = C_1 r + \frac{C_2}{r} \quad (10.13)$$

$$\text{境界条件: } r=r_i; \sigma_r = -p_i, r=r_o; \sigma_r = -p_o \quad (10.17)$$

内圧のみを受ける場合、

$$\sigma_r = \frac{p_i r_i^2}{r_0^2 - r_i^2} \left( 1 - \frac{r_0^2}{r^2} \right) \quad (10.29)$$

$$\sigma_\theta = \frac{p_i r_i^2}{r_0^2 - r_i^2} \left( 1 + \frac{r_0^2}{r^2} \right) \quad (10.30)$$

$$\tau_1 = \frac{1}{2} (\sigma_\theta - \sigma_r) \quad (10.31)$$

### 3. 回転円板

$$\text{基礎式: } \frac{d^2 u}{dr^2} + \frac{1}{r} \frac{du}{dr} - \frac{u}{r^2} + \frac{1-\nu^2}{E} \rho \omega^2 r = 0 \quad (10.50)$$

$$\text{一般解: } u = C_1 r + \frac{C_2}{r} - \frac{1-\nu^2}{E} \rho \omega^2 \frac{r^3}{8} \quad (10.51)$$

$$\text{境界条件: 有孔円板 } \sigma_r|_{r=r_i}=0, \sigma_r|_{r=r_0}=0$$

$$\text{中実円板 } u|_{r=0}=0, \sigma_r|_{r=r_0}=0$$

最大応力:

$$\text{有孔円板 } (\sigma_\theta)_{\max} = \rho \omega^2 \frac{3+\nu}{4} r_0^2 \left\{ 1 + \frac{1-\nu}{3+\nu} \left( \frac{r_i}{r_0} \right)^2 \right\} \quad (10.61)$$

$$r_i/r_0 \rightarrow 0: (\sigma_\theta)_{\max} = \rho \omega^2 \frac{3+\nu}{4} r_0^2 \quad (10.62)$$

$$r_i/r_0 \rightarrow 1: (\sigma_\theta)_{\max} = \rho \omega^2 r_0^2 \quad (10.63)$$

$$\text{中実円板 } (\sigma_r)_{\max} = (\sigma_\theta)_{\max} = \rho \omega^2 \frac{3+\nu}{8} r_0^2 \quad (10.69)$$

$$\text{有孔円板の最大応力} \geq (\text{中実円板の最大応力}) \times 2$$

## 問題 10

1. 内圧を受ける円筒の  $\sigma_\theta$  を計算する際、厚肉円筒の公式を用いたときと、薄肉円筒の公式を用いたときとで、どの程度値が異なるか。一例として、 $r_i/r_0=0.9$  の場合を示せ。

2. 内径 100 mm、外径 220 mm の両端閉鎖の厚肉鉄管に、内圧 70 MPa が作用するとき、管に生じる円周応力  $\sigma_\theta$ 、半径応力  $\sigma_r$ 、軸応力  $\sigma_z$ 、および最大せん断応力  $\tau_1$  の分布を求めよ。ただし、管は長く、両端の影響はないものとする。

3. 2. で、円周ひずみ  $\varepsilon_\theta$ 、半径ひずみ  $\varepsilon_r$ 、軸ひずみ  $\varepsilon_z$ 、および半径方向変位  $u$  を求めよ。ただし、 $E=200 \text{ GPa}$ 、 $\nu=0.3$  とする。

4. 同一材料からなる (1) 中実円板、(2) 中心に小円孔を有する円板、(3) 円孔を有する円板 ( $r_i/r_0=1/4$ )、(4) 円輪、の許容周速度を比較せよ。ただし、ポアソン比を  $\nu=0.3$  とする。

## 11. ひずみエネルギー

### 11.1 ひずみエネルギーの一般式

物体に外力が作用すると、物体は変形し、外力の作用点も移動するから、外力は仕事をする。この外力のなす仕事は、物体の変形に伴う内力仕事として物体に吸収される。この仕事をひずみエネルギー (strain energy) という。外力による応力の値が、材料の弾性限度以下であると、物体は弾性変形を生じて、このエネルギーを吸収するので、弾性ひずみエネルギー (elastic strain energy) という。弾性変形の場合は、外力を除くと、ひずみはただちに消失して、物体は原形にもどり、吸収していたひずみエネルギーは、すべて回収される。

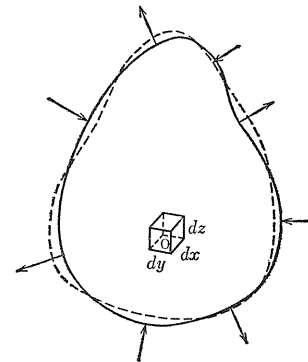


図 11.1

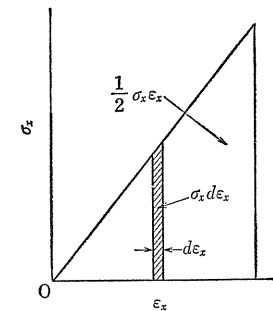


図 11.2 ひずみエネルギー

いま、弾性体中の任意の点 O に、稜の長さが  $dx, dy, dz$  の微小な直六面体を考え (図 11.1)、応力およびひずみが 0 の状態から変形して、ある応力状態に達するまでに、六面体の表面に働く応力 (図 8.2) が弾性移動によってなす仕事を求める。x 面に垂直に働く力は、垂直応力  $\sigma_x$  に面積  $dydz$  を乗じて、 $\sigma_x dydz$  となる。x 面の x 軸方向の移動距離は  $\varepsilon_x dx$  であるが、それに至るまでの微小変形量は  $d\varepsilon_x dx$  であるから、この微小変形による仕事は